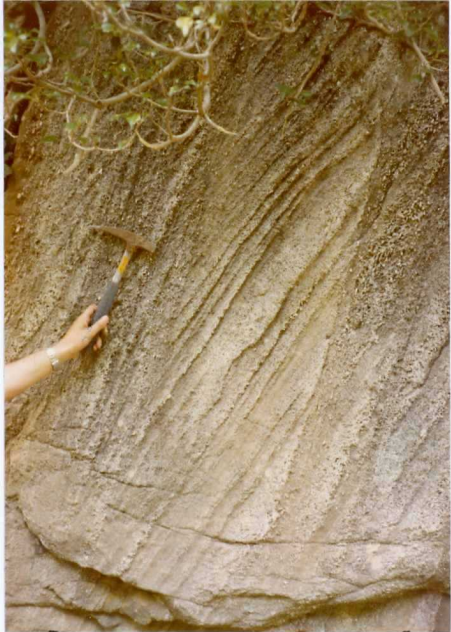




F-600. Detalle del detritismo en la caliza arenosa del
C_{25-a}-26.



F-601 . Estratificación cruzada en la formación C_{25a}-26.
"Areniscas de Marboré ".



F-602. Otro detalle de estratificación cruzada en la misma formación C₂₅-₂₆.



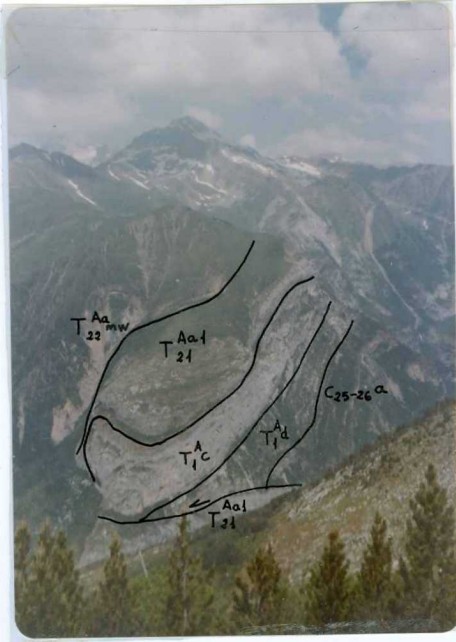
F-603. Entrada del cañón de Añisclo.



F-604. Margen E del río Vellos, en la entrada del Valle de Añisclo. Pliegue en calizas del Paleoceno. Al fondo a la derecha el Tozoals.

S

N



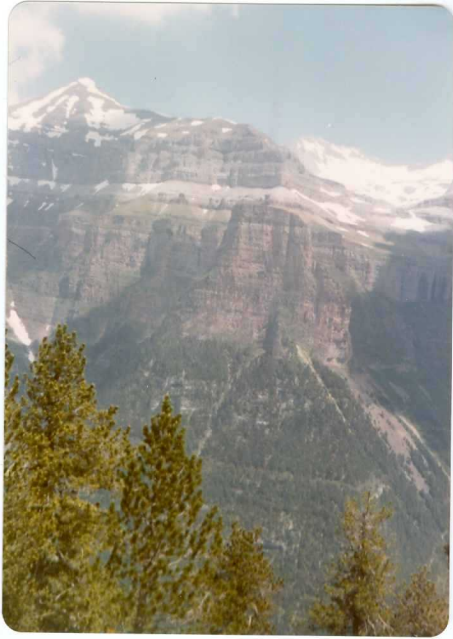
F-605. Vista del pliegue de Torla (es el frente sur-occidental de la unidad de Monte Perdido).



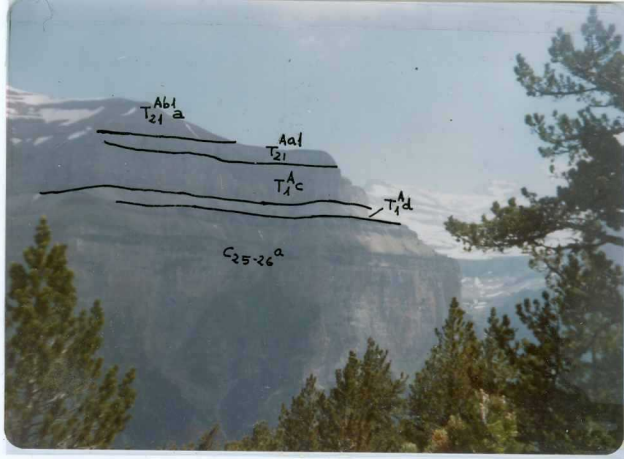
W

E

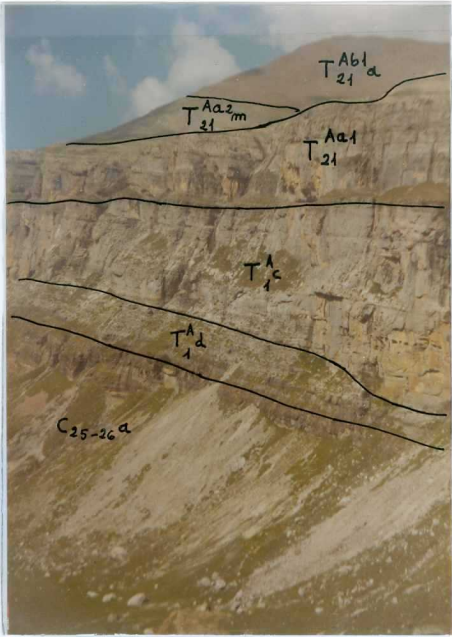
F-606. Vista desde Torla. Pliegue de Torla y al fondo el Mondarruego.



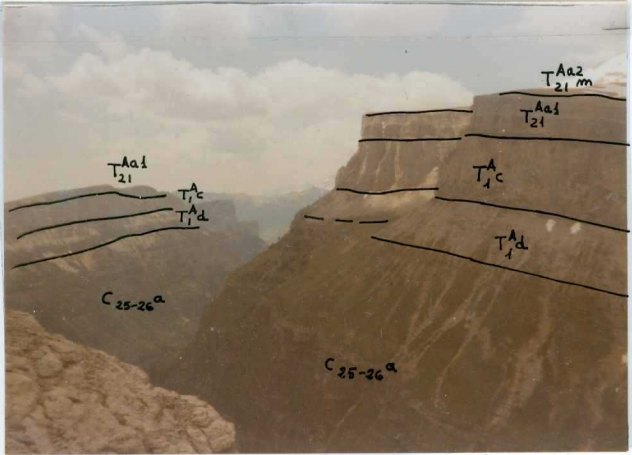
F-607. Desde la sierra de las Cutas, el Tozal del Mallo
(C₂₅-26).



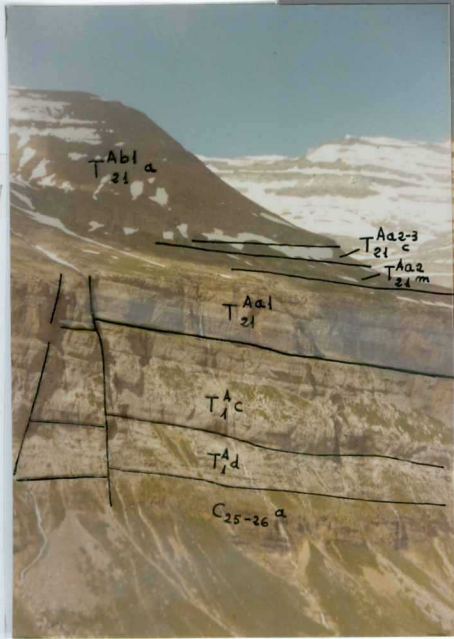
F-608. Desde la sierra de las Cutas, cresta del Gallinero
y circo de Cotatuero.



F-609. Vista de la Fraucata desde el E.



F-610. Foto tomada desde Cuello Gordo hacia el W. Valle de Ordesa.



F-611. Detalle de la pared W del circo de Soaso. En la base del escarpe, el Paleoceno dolomítico T_1^A . En el techo la caliza del Ilerdense T_{21}^{Aal} y sobre ella las margas de Millaris T_{21}^{Aa2} m. y el Flysch en sombra sobre estas últimas T_{21}^{Ab1} a ,



F-612. Vista del circo de Soaso desde el camino que sube a Goriz.



F-613. Detalle de estratificación cruzada en la parte alta
del Barranco de la Pardina, en el techo del Paleoceno
 T_1^A .

F-614. Idem que la anterior.





F-615. Estratificación cruzada en el camino desde Añisclo a Sercué (3º tramo del corte). En caliza arenosa del techo del Paleoceno (T_1^A).



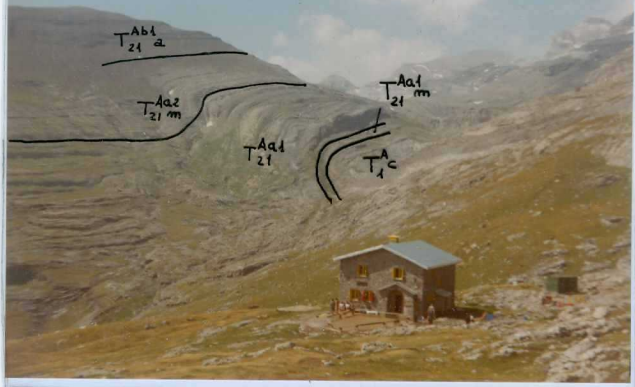
F-616. Idem que la anterior.



F-617. Molino de Aso. Foto de la caliza de silex del
Ilerdense T^{Aal}
21 •



F-618. En primer plano sobre la caliza de silex del
Ilerdense T_{21}^{Aal} , el flysch $T_{22}^{Aa mw}$.



F-619. Vista del refugio de Goritz desde el E.



F-620. Vista del Collado de Goriz .Esquistosidad deformada por el sinclinal.



F-621. En la subida a Vió, en frente del cañón de Añisclo.
Principio de disyunción en bolas de la Formación
Metils T₂₁^{Aa2-3} c.



F-622. Formación Metils en la carretera hacia Vió con nivelillos pardos arenosos.

SW

NE



F-623. En primer término el nucleo del anticlinal en caliza de formación Metils $T_{21}^{Aa2}\bar{c}^3$ cerca de Fanlo. Al fondo la cara meridional de la sierra de las Cutas.



F-624. Aspecto de las margas de la Formación Yeba inferior
(T^{Aa3}₂₁) cerca del pueblo de Yeba.



W

E

F-625. Margas de Yeba inferior al N de Buerba T^{Aa3}
21



F-626. Pico Arán y Santuario de Collarán. Formación Yeba
superior T^{Aa}₂₂ y el pico en caliza de Boltaña
T^{Aa-AbI}₂₂₋₂₁



F-627. Detalle de la foto anterior.

S



N

fondo.

F-628. Vista de Yeba, con la caliza de Boltanya T_{Aa}-Ab₁ al fondo.

N



52

F-629. Rio yesa. La Formación Boltosña T₂₂₋₂₁^{Aa}b y el Yeba superior T₂₂^{Aa}.

E



W

P-630. Pista a Yeba. Anticlinal de Boltanya en calizas
de Boltanya.

N



S

F-631. Anticlinal de Boltaña. Nucleo en calizas de la formación Metils. Al fondo formando cresta:flanco E en calizas de Boltaña.

NE

SW



F-632. Vista de Vió, tras el pueblo, el Pico Arán en caliza de Boltaña T₂₂₋₂₁A_{b1} y al fondo el cierre pericinal del anticinal de Añisclo, ya en la hoja de Boltaña (Muriello de San Pietro).

NE

SW



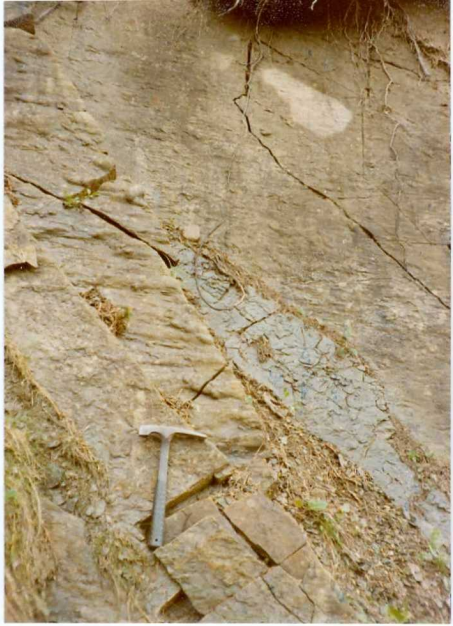
F-633. Vista desde el W del anticlinal de Boltaña (hoja de Boltaña).

E

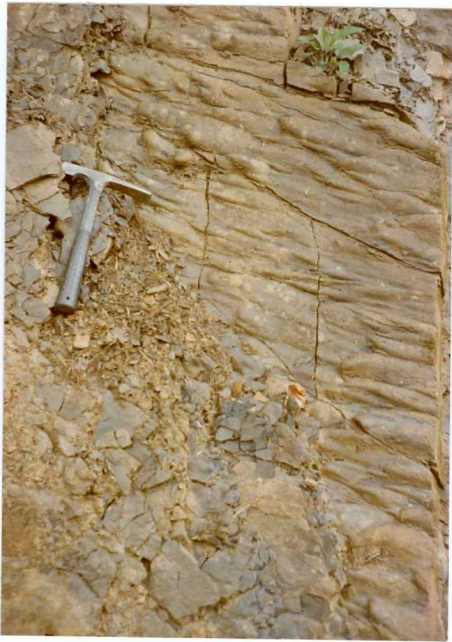
W



F-634. Foto del Flysch T_{21}^{Abl} b tomada desde las proximidades de la casa del Campeso. Margen sur del barranco Chaté.



7-635. Flute cast en el Flysch T₂₁^{Abla} de la pista de Buesa hacia el N.(Barranco del Furco).



F-636. En la misma pista detalle de flute-cast en el Flysch T₂₁^{Abla}

F-637. Repliegue en el Flysch margoso T_{22}^{A8} de la zona de Castillo Mayor. Fractura horizontal con calcita.





F-638. Detalle de ripple mark.



W

E

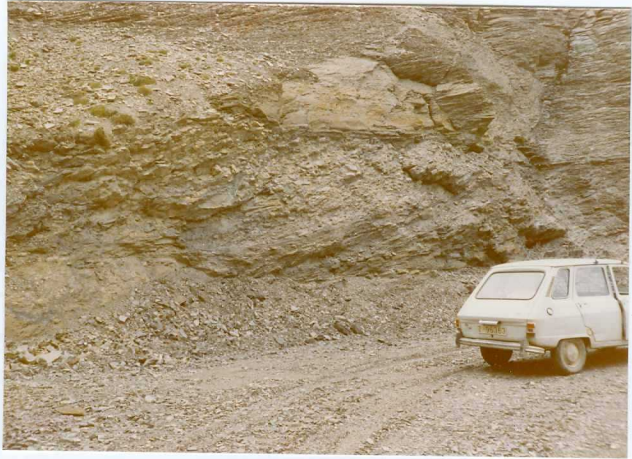
F-639. Repliegues en la ladera sur del Pico Ratón.



F-640. Repliegue en la ladera S del Pico Ratón. Detalle de la anterior.



F-641. Idem. Vista mas general del Flysch cerca de Castillo Mayor.



F-642. Colada conglomerática en el Flysch margoso. (Zona de Castillo Mayor).



F-643. Detalle de pasada de turbidita caliza en la Pista
a Yeba Fm T₂₁^{Abl}a.



F-644. Turbiditas calizas en Flysch margoso de Buisan.
Foto en dirección vertical.

S



N

F-645. Foto de la villa de Torla y el olistolito situado al W de la misma.

W



E

F-646. Tabla cerca de Bestué.
21

N

S



F-647. Turbiditas acuñándose cerca de Bestué ($T_{21}^{Abl_a}$).

S

N



F-648. Contacto discordante entre el Flysch margoso con turbiditas calizas (F-644.) a la izquierda (T_{22}^{Aa} m) y las calizas de formación Metils (T_{21}^{Aa2} c) a la derecha. Serie invertida.

5



N

F-649. Finales turbiditas en tramo margoso (Fm T^{Aa}₂₂ m) en las cercanías de Puértolas.



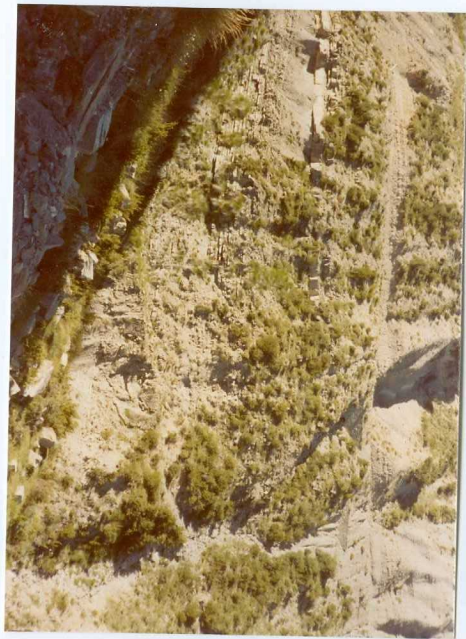
W

E

F-650. Proximidades de Cajol. Colada conglomerática (techo de T_{21}^{Ab1} b.

W

F-651. Proximidad de Cajol. Parte baja de las margas de
Cajol (Tabl-2_m).



E



F-652. Desembocadura del barranco de las Sarriesas.
Olistolitos (T_{22}^{Aa} mw).

F-653. Plano axial tendido. Pista forestal no 5 de Broto.



S

N

S



F-654. Entre Torla y Broto . Secuencia positiva ($T_{21}^{Abl_a}$).

NW

SE



F-655. Otra vista del mismo afloramiento anterior.



E-656. Casas de Isualda. Aspecto de la serie turbiditica
superior. (Tab 21).
E W



F-657. Panorámica desde la pista a Yeba, de la corrida
del escarpe de la caliza de Boltaña T^{Aa-Abl}.
22-21



F-658. Entrada del valle de Añisclo desde las proximidades
de Vió.



F-659. Otra panorámica de los Sestrales y el cañón de
Añisclo. Charnela erosionada del anticlinal del
río Vellos.

NW



SE

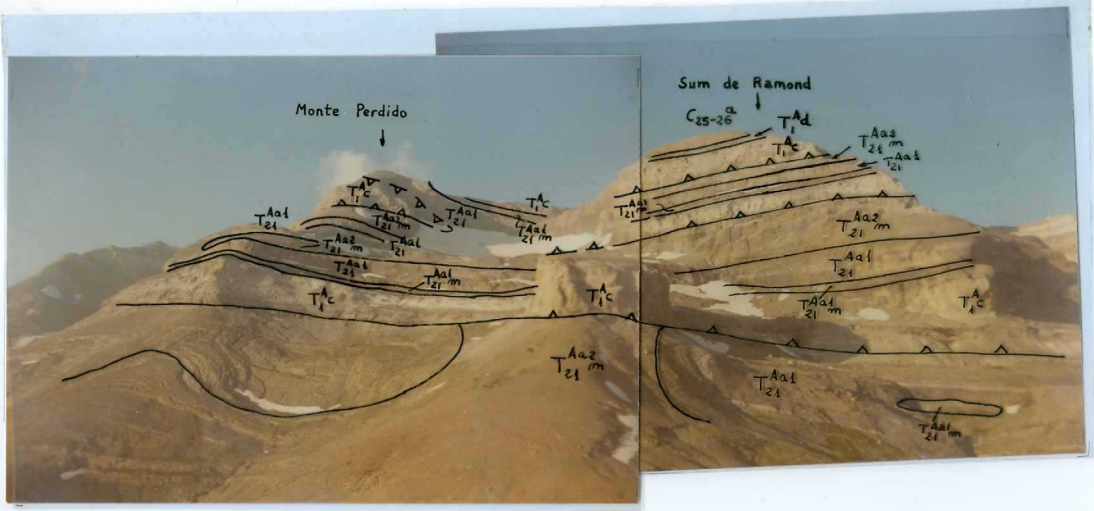


F-660. Panorámica de los Sestrales. Otro punto de vista.

E



F-661. Collado de Añisclo, Sum de Ramond y Monte Perdido
desde el Norte



F-662. Panorámica de la cara Sur del Monte Perdido y
Sum de Ramond.



F-663. Panorámica de las tres Marias desde la punta
Custodia.

NW



SE



F-664. Panorámica desde la punta Custodia. Detalle de la pared E de la parte alta del Valle de Añisclo

W



E



F-665. Zonade la cabecera del río Aso. Rodilla anticlinal en caliza del Ilerdense inferior (T_{21}^{Aal}). Al fondo con nieve el macizo del Monte Perdido.



F-666. Vista desde el E, del pliegue de Torla. Panorámica tomada desde la pista a las Cutas de Torla y del pliegue de Torla.

W

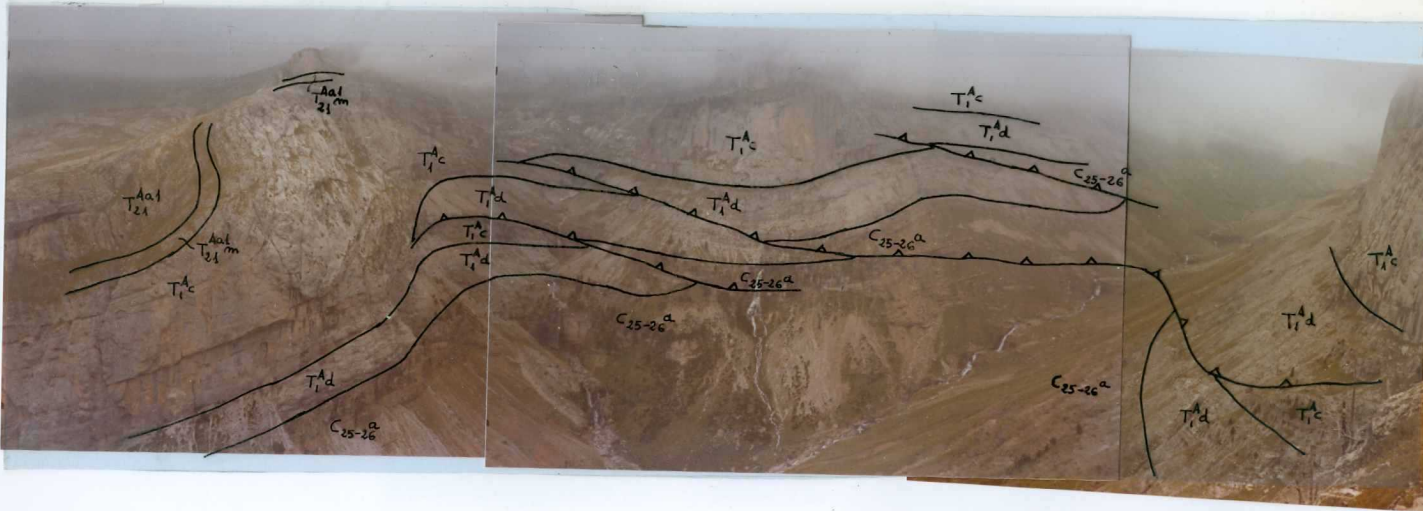
E



F-667. Panorámica desde lo alto de la pista a Yeba, hacia el Norte.



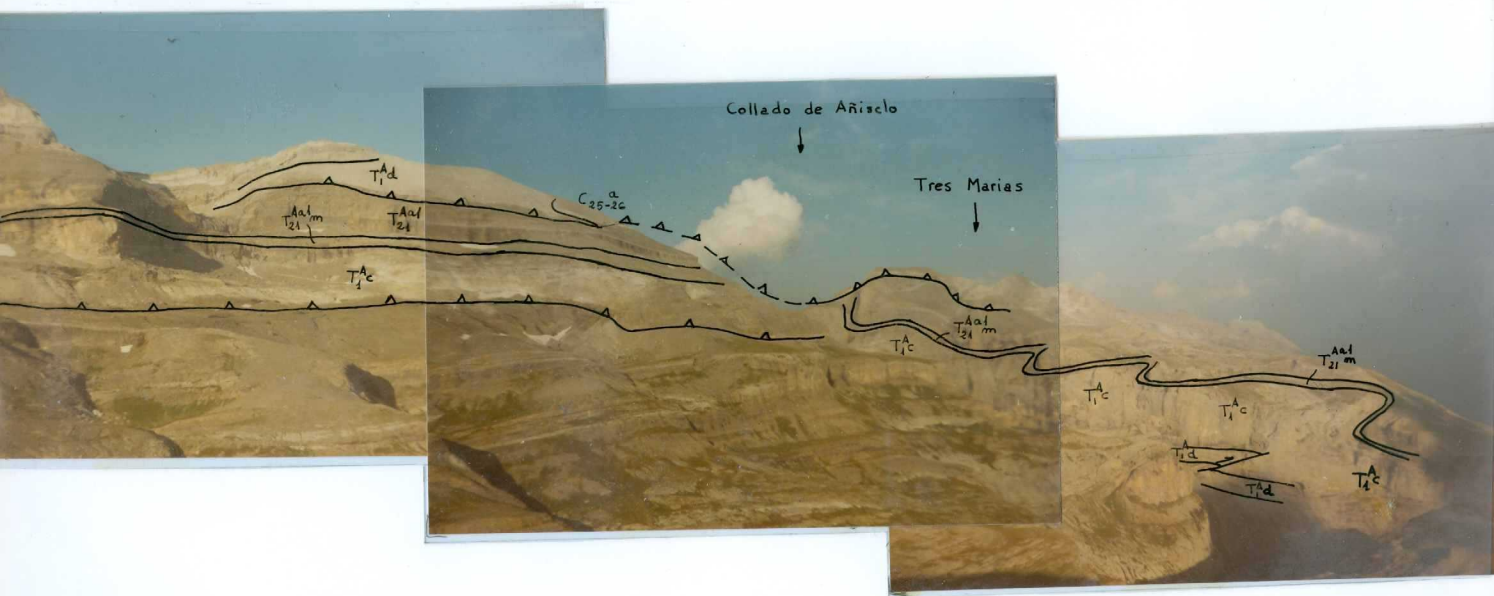
F-668. Desde la Estiba hacia el Sur, hacia las paredes
del valle de Pineta. De izquierda a derecha: Tres
Marias, Collado de Añisclo, Pico las Olas, Sum de Ra-
mond, Monte Perdido, Cilindro, Pico del Felquerai, y
Pico Pineta.



F-669. Panorámica del barranco de Arrabio, pared Oeste de la cabecera del valle de Añisclo. En el centro la Fontblanca.

NW

SE



F-670. Panorámica desde la punta Custodia hacia el NE.
Pico Añisclo, Tres Marias y pared E del valle de
Añisclo.